

高等学校教学用書



电 机 学

特 殊 部 分

第 三 册

M. II. 柯 斯 秦 珂 著
浙江大学电机教研组譯

高等 教育 出 版 社

本書系根据苏联国立动力出版社（Госэнергоиздат）出版的柯斯泰珂（М. И. Костенко）院士著的“电机学，特殊部分”（Электрические машины—специальная часть）1949年版譯出的，原書經苏联高等教育部审定为动力系及电工系、动力高等学校及电工高等学校用的教学参考書。

本書研究对于許多不同型式的电机而言其本質是共同的复杂的過程和运转状态。本書計十四篇，共五十章。中譯本分三册出版。第三册包括第九篇至十四篇：第九篇講述变压器及电机中的高頻振蕩和过电压；第十篇講述电机及变压器中的附加力矩和应力；第十一篇講述电机及变压器中的附加損耗；第十二篇講述电机的發热、冷却和通風；第十三篇講述运算微积应用于电机和变压器的过渡过程的研究；第十四篇講述整流器。

本書可供上述高等学校电机專業的高年级学生研究电机学特殊部分时之用，对在电机方面頗求深造的科学工作者和电气工程师也可供参考之用。

本書是由浙江大学电机教研組翻譯，交通大学电机原理教研組校訂的。

DS693/07

电 机 学

特 殊 部 分

第 三 册

M. II. 柯斯泰珂著

浙江大学电机教研組譯

高等教育出版社出版北京宣武門內承恩寺7号

（北京市書刊出版業營業許可證字第054号）

京华印書局印刷 新华書店發行

統一書號15010·565 開本 787×1092 1/16 印張 12 1/8
字數 279,000 印數 0001—4,000 定價(10) 1.50
1958年12月第1版 1958年12月北京第1次印製

主要符号

A_e — 磁通能
 A_m — 动能
 B_p — 磁感应的脉振幅
 B_{ZR} — 在转子表面由齿磁场所生磁感应
 B_v — v 次谐波磁感应
 b_n — 槽宽
 b_s — 槽口宽
 C — 线路单位长度的电容; 绕组单位长度的对地电容
 c — 比热
 F — 机械力
 F_v — v 次谐波磁势振幅
 G — 物体质量
 H — 磁化力
 H — 气体静压力
 H_d — 气体动压力
 h_k — 导体临界高度
 h_n — 槽或齿的高度
 h_α — 压力损失
 I_1, I_3, I_5 — 电流谐波分量
 I_g — 整流后的电流
 I_e — 电流的等效值
 i_q — 定子电流横轴分量
 K — 绕组单位长度的匝间电容
 k — 导热系数
 k_F — 挤流引起的电阻增加系数
 k_α — 压力损失系数
 L_1, L_2 — 变压器原绕组和副绕组的自感系数
 l_n — 半匝的槽内部分长度
 l_s — 绕组端接部分长度
 M_h — 磁滞力矩
 M_r — 反应力矩
 M_s — 整步力矩系数
 M_d — 电磁力矩
 m_a — 非周期性电流分量所生力矩的瞬时值
 O — 物体表面积
 P_g — 整流器直流方面的功率
 p_d — 附加损耗
 p_m — 表面损耗
 p_p — 脉振损耗
 p_v — 通风损耗
 Q — 单位时间内的热能量(热流)
 R — 半径
 R — 热阻
 R_t — 绝缘的热阻

S — 物体表面积
 S_1 — 进入一个槽内的绕组端接部分总截面
 S_u — 进入一个槽内的绕组槽内部分总截面
 s — 绕组导体横截面
 T — 发热时间常数
 T_0 — 自然振荡周期
 t_a — 波前长度
 V — 消费风量
 v — 冷却空气的速率
 v — 过电压波的传播速率
 v_u — μ 次谐波的圆周速率
 W — 热流密度
 W_e — 电能能量
 W_m — 弹性能量
 z_w — 线路或绕组的波阻抗
 α — 表面散热系数
 α — 电机的温度系数
 β — 绝缘厚度
 γ — 比重
 γ — 气体密度
 Δ — 钢片厚度
 Δ_i — 绝缘厚度
 Δ_T — 由于各种损耗造成的温升分量
 η_0 — 吹风系数
 η_{st} — 风扇的静效率
 η_v — 风扇的机械效率
 ϑ — 温度
 ϑ_u — 无激磁时的空载温度
 ϑ_E — 有激磁时的空载温度
 ϑ_k — 短路时的温度
 ϑ_a — 空气温度
 ϑ_{Cu} — 绕组铜的温度
 ϑ_{Fe} — 铁心温度
 λ — 热导
 λ — 绝缘的热导
 μ — 空间谐波序次
 ν_z — 齿谐波序次
 ξ — 气体动力常数
 σ_f — 湍流损耗系数
 τ — 温升
 τ_0 — 初始温升
 τ_m — 极限温升
 τ_t — 槽绝缘温度降落
 Φ_k — 短路时磁通
 Ω_r — 转子角速率

第三册目录

主要符号

第九編 变压器及电机中的高頻振蕩和过电压

第三十四章 变压器及电机中的高頻振蕩	407	§ 153. 变压器中的过电压	414
§ 150. 过电压的一般特征	407	§ 154. 变压器的过电压保护	418
§ 151. 当不同频率时变压器及电机的等值电路	407	§ 155. 电机中的过电压	420
§ 152. 在变压器及电机中高頻振蕩的产生	409	§ 156. 电机及变压器的振蕩迴路对于断路器触头間 电压恢复过程的影响	425
第三十五章 变压器及电机中的过电压	414		

第十編 电机及变压器中的附加力矩和应力

第三十六章 高次諧波磁勢在鼠籠轉子异步电动 机中所引起的力矩	430	§ 161. 突然短路时附加力矩形成的一般情景	441
§ 157. 概述	430	§ 162. 当突然短路时力矩的基本方程式	444
§ 158. 高次諧波磁勢的异步力矩	430	§ 163. 計及激磁电路瞬变电流的影响下同步电机振 蕩时的整步和阻尼力矩系数	450
§ 159. 高次諧波磁勢的同步力矩	435	§ 164. 同步电机靜过載能力和动过載能力的比較	454
§ 160. 振动的幅向力	439		
第三十七章 在运行的过渡状态下同步电机的附 加力矩	441	第三十八章 短路时繞組中的机械应力	456
		§ 165. 短路时变压器繞組中的应力	456
		§ 166. 当突然短路时同步电机繞組中的机械应力	458

第十一編 电机及变压器中的附加損耗

第三十九章 繩組中的附加損耗	464	§ 170. 当具有屏蔽作用时鋼片中的渦流損耗	471
§ 167. 交流电机电枢繞組中的渦流損耗	464	§ 171. 極掌表面的損耗	473
§ 168. 直流电机电枢繞組中的渦流損耗	467	§ 172. 齒內脉振損耗	475
§ 169. 变压器繞組中的渦流損耗	469	§ 173. 負載时在电机整塊金屬部分中的附加損耗	477
第四十章 鋼中的附加損耗	471	§ 174. 轉子中磁滞和渦流的力矩以及昇步机的附加 損耗	479

第十二編 电机的發热、冷却和通風

第四十一章 电机的發热和冷却過程	482	§ 181. 溫度在电枢繞組和鐵中分布的計算	497
§ 175. 理想固体的發热過程	482	§ 182. 由發熱試驗求得個別的溫升分量	501
§ 176. 理想固体的冷却過程	485	§ 183. 溫升的疊加法	502
§ 177. 由發熱曲綫或冷却曲綫的一段來決定最後溫 度	487		
§ 178. 短時和間歇運行情況的發熱過程	488	第四十三章 电机的通風	504
§ 179. 計算电机發熱的等值熱路	492	§ 184. 概述	504
第四十二章 在稳定运行情况下电机繞組中和鉄 中的溫度分布	494	§ 185. 用空气冷却电机	504
§ 180. 稳定熱流方程式	494	§ 186. 电机的通風系統	505
		§ 187. 通風計算基礎	508
		§ 188. 用特殊气体冷却电机	512
		§ 189. 用液体冷却电机	514

第十三編 运算微积应用于电机和变压器的过渡过程的研究

第四十四章 在研究过渡过程时应用运算微积的 若干說明	515	运算微积公式	515
§ 190. 概述	515		
§ 191. 解电机和变压器中过渡过程方程式时所应用的		第四十五章 副边短路的空气变压器合闸时的過 渡过程	519
		§ 192. 变压器接入恒定电势的網絡时的过渡过程	519

§ 193. 变压器接入正弦变化电势的網絡时的过渡过	520	程.....	540
第四十六章 交流电机在过渡状态时的算子方程		的恢复.....	
式	521	第四十七章 發电机和变压器迴路切断时断路器	
§ 194. 双馈电机的一般方程式.....	521	触头上电压的高頻振蕩	540
§ 195. 恒定轉速下的鼠籠式异步电动机.....	524	§ 200. 概述.....	540
§ 196. 沿轉子縱軸具有一个繞組的凸極同步电机.....	528	§ 201. 一个頻率的振蕩迴路.....	541
§ 197. 沿轉子縱軸有两个电路的凸極同步电机.....	532	§ 202. 具有自行振蕩的双頻振蕩迴路.....	542
§ 198. 同步电机突然短路时, 周期性分量电流衰减的		§ 203. 具有互相联系振蕩的双頻振蕩迴路.....	542
時間常数.....	538	第四十八章 变压器繞組中的自由振蕩	545
§ 199. 同步电机在短路情况下定子电路开路时电压		§ 204. 矩形波的电压加于变压器繞組上时, 在变压器	
		繞組中的自由振蕩	545
		§ 205. 切断短路时变压器繞組中的自由振蕩	552
第十四編 整流器			
第四十九章 整流器的基本类型及变压器的連接		整流器	
方式	559	§ 215. 金屬整流器.....	57
§ 206. 整流原理.....	559	§ 216. 氙弧整流器的外特性.....	57
§ 207. 整流器类型及整流的基本綫路圖.....	560	§ 217. 控制柵.....	57
§ 208. 各基本整流綫路中变压器的容量及利用系数.....	564	§ 218. 电流的逆变.....	57
§ 209. 电流和电压的脉振.....	566	§ 219. 引燃管.....	57
§ 210. 机械整流器.....	566	§ 220. 充气管和閘流管.....	57
§ 211. 离子或气体整流器.....	569	第五十章 在帶有相間繞圈的六相綫路运行的整	
§ 212. 直流电流中的汞弧.....	570	流器中的电磁过程	578
§ 213. 氙弧整流器的作用原理.....	571	§ 221. 基本方程.....	578
§ 214. 玻璃整流器.....	572	§ 222. 交流电压和电流的諧波	598

第九編 变压器及电机中的高頻振蕩和过电压

[参考文献 497, 772, 789, 791, 813, 818]

第三十四章 变压器及电机中的高頻振蕩

§ 150. 过电压的一般特征

人們把所有超过額定值的电压升高，不論它的久暫，都称为过电压；但通常这一名詞不了解为長期的电压升高，例如，饋電給某一电力系統的發电机超速时所产生的情况，而是指很短暫的过程，具有个别短时冲击的或高頻振蕩的特征，它們在一定的条件下产生并在电力系統中傳布。因此，按照产生过电压的原因是否位于电力系統之内或在系統之外而区别为内部的及外部的过电压。

內部的过电压發生于当系統运行状态剧烈变更时，例如，当負載接入、切除以及突然变更时，随着这些情况系統中儲藏的电能和磁能有所改变；这种过电压称为操作过电压。属于内部的过电压还有那些發生于系統事故状态下的，例如，在切断无載線路、短路、切除短路、重复电弧接地时、等等。

外部的过电压系由于各种大气中电的現象而产生，这些現象是：1)雷电直接击中輸电线，2)云層放电时电线中的电磁感应現象，3)充电云層的靜电感应現象，4)由于風中带有微粒如灰塵、雪等等而使导線带电。

正如觀察指出，操作过电压的数值通常不超过 $3-4.5 U_{\Phi N}$ ，且其振幅愈高时則重复發生愈为稀少。至于雷电过电压，其数值可超过 $10-15 U_N$ 。过电压的波(脉冲)在大部分中均带来高次諧波振蕩，有时整个过电压的过程即是高頻振蕩。且通常波前的陡度随着振幅的增加而增加，这就更增加了这种波的危險性。

如所周知，过电压波以速率 $v = \frac{1}{\sqrt{LC}}$ 沿線路傳播，其中 L 和 C 为線路單位長度的电感和电容；对于在空气中的線路該速率接近光的傳播速率。線路的主要特征之一为其波阻抗 $z = \sqrt{\frac{L}{C}}$ ；对于空气中的線路 $z \approx 500-600 \Omega$ ；对于电纜線路，由于电容很大， $z \approx 50 \Omega$ ；与此相反，对于变压器其波阻抗比之空气中線路将大出若干倍，且对于所有的冲击波和振蕩皆非恒值。对于电机波阻抗較不确定，其值在 $200-2000 \Omega$ 的范围内。

§ 151. 当不同频率时变压器及电机的等值电路

各种过电压沿着电力系統傳播达到了接在系統上的变压器和电机的繞組以后，将在其中激起如下所述的复杂的电磁过程。在研究这种过程时，主要的概念是变压器和电机繞組对于过电压波的“等值电路”(不可和作为电磁器具的变压器或电机的等值电路相混淆，§ 64)。所有問題

的分析归結为当不同波形和频率的脉冲和振蕩作用在这一“等值电路”时，对其特性的研究。显然，要对这些現象作完整的研究，必須考慮所有变压器和电机繞組的組合以及知道当过电压波襲击时这些繞組的詳細情况，也就是要考虑到那些繞組开路、那些有負載、那些被接地以及如何接地等等。

当变压器和电机在額定频率下运行时，其等值电路由繞組的电抗和电阻的集中常值所組成。在此情况下，通过絕緣的有功电流和电容电流皆非常小因此不加考慮。如果在变压器和电机中进行的过程、和相当于很高频率的振蕩的短时过程有关时，则通过絕緣的电容电流，无论通向机壳或界于匝間，都达到和通过繞組的电流同一級大小，因此电容耦合应加以注意。此时电机的等值电路已不能用集中参数表示而需用分布参数表示了，这提供了同时考虑傳导电流和位移电流的可能性。

当單相变压器运行在高频率时其完全等值电路具有極复杂的形式，如圖 444, a 所示。其中 $A-X$ 表示高压繞組，繞組單位長度的每一元件具有电感 L_1 、电阻 R_1 、电容 K_1 和介于元件两端間的絕緣的有效电导 G_1 ，元件电容 C_1 以及对于机壳的絕緣电导 g_1 。同样地，低压繞組元件具有参数 L_2 、 R_2 、 K_2 、 G_2 、 C_2 和 g_2 。此外在等值电路中应当考慮界于高低压繞組元件間的互感 M_{12} 、电容 C_{12} 、和絕緣电导 g_{12} 。

完全的等值电路(圖 444, a)是如此复杂以致使分析相当困难。因此在解实际問題时必須寻求简化的方法。例如，在一些場合中，可仅研究在一个高压繞組中的現象，再部分地考慮到低压繞組的影响，这样可以得到圖 444, b 的等值电路，其中电容 C_1 、 C_2 和 C_{12} 被等效电容 C' 替代，电导 g_1 、 g_2 和 g_{12} 被电导 g' 替代，而常数 L_2 、 K_2 、 R_2 和 M_{12} 从線路中取消。

不難證明，当 A 端对地之間的电振蕩的频率在量的方面变更时，这种線路的特性将受到本質

上的变化。当频率等于零时，即相当于直流时，外加电压完全均匀地分布在整個繞組上。在低频率的交流电流的場合将發生同样情形，这时电压的分布主要地将由电感 L_1 决定。但当频率增加时电容 K_1 和 C_1 开始逐漸增加其影响。如对圖 445 的線路元件加

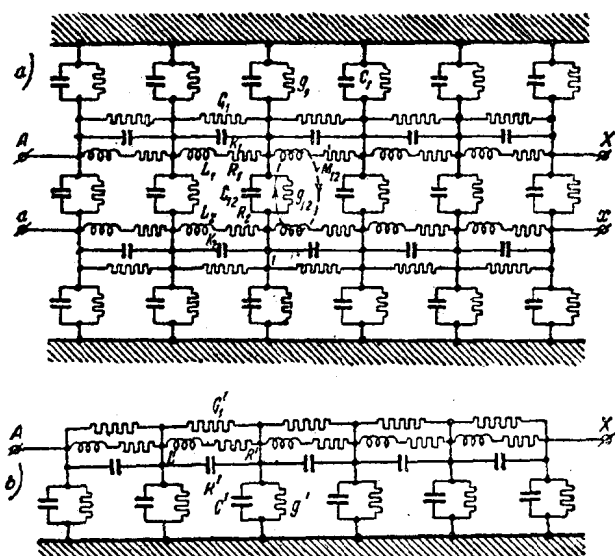


圖 444. 在高頻率条件下变压器的線路：a)完全的等值電路，b)簡化的等值電路。

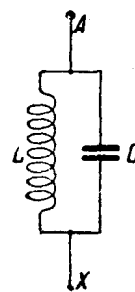


圖 445. 並聯的電感及電容的線路。

以研究,这将是很明显的。線路中电感 $L=1$ 亨和电容 $C=0.01$ 微法并联。当振蕩頻率 $f=50$ 赫茲时則界于 A 和 X 端点間接有并联連接的电感电抗 $x_L=2\pi fL=314\Omega$ 和电容电抗

$$x_C = \frac{1}{2\pi f C} = \frac{1 \times 10^6}{314 \times 0.01} = 320000\Omega,$$

而当頻率 $f=50 \times 10^3$ 赫茲时电抗相应地为 $x_L=314000\Omega$ 及 $x_C=520\Omega$ 。

在單匝線圈的电机中, 匝間电容 K 比之对地电容 C 小去很多。因此这种电机的繞組实际上可以看作具有分布参数的有限長的線路, 具有某一足够确定的波阻抗 $z=\sqrt{\frac{L}{C}}$, 而在变压器中由于匝間电容 K 相当大, 过程比較更为复杂。

§ 152. 在变压器及电机中高頻振蕩的产生

在变压器和电机中, 由于电感和电容元件耦合关系的存在, 在某些条件下給予在其中产生振蕩迴路的可能。該迴路具有一定的自然振蕩的角頻率, 等于:

$$\omega_0 = 2\pi f_0 = \frac{1}{\sqrt{LC}}.$$

因为电容 C 和电感 L 的乘积很小, 于是从而可得, 自然振蕩頻率較高, 通常在 10^4 — 10^5 赫茲的范围内。

在变压器和电机中形成高頻振蕩的最有表征性的情况之一, 为借断路器来切除电路和輸电线的短路部分时在断路器接触点間的电压恢复过程, 該电路或輸电线系由發电机的母綫經過变压器和限流电抗器来供电的。我們試考慮最簡單的情况, 其中断路器將短路的电抗器从无穷容

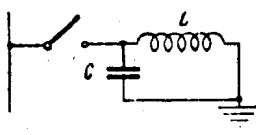


圖 446. 切除短路的电抗器的綫路。

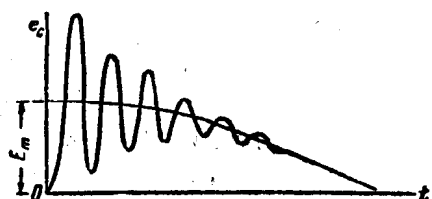


圖 447. 当正弦电压接通时电容端电压变化的曲綫。

量电網中切除, 电抗器的电路可仅为等值的 L 和 C 并联的电路(圖 446)。在此場合电路的电阻 R 和它的电感电抗相比为值甚小, 因此电路中的电流滞后于發电机的电势 90° 。当断路器的接触点分开时其間有电弧形成, 該电弧系由儲藏在电感电路中的电磁能 $\frac{1}{2}Li^2$ 来維持的。当电流通过零时电弧熄灭, 此时电磁能为零。由于电流滞后于电势 90° , 于是当电流等于零时按 $E_m \cos \omega t$ 規律变化的發电机电势将等于最大值。这样, 在电弧熄灭时电容被电压 E_m 充电, 随即开始向 L 和 R 的电路放电, 而电容上的电压(参考文献 1079, 第 331 頁)将依下列規律变化。

$$e'_C = E_m \cos \omega_0 t \cdot e^{-\frac{R}{2L}t}$$

此时断路器接触点間的电压 e_s 将等于电網电压 $E_m \cos \omega t$ 与电容器上的电压 e'_C 之差:

$$e_s = E_m (\cos \omega t - \cos \omega_0 t \cdot e^{-\frac{R}{2L}t}), \quad (1170)$$

也就等于[参考文献 1079, 第 342 頁]在 R 、 L 和 C 串联的电路上, 当正弦电压通过其最大值时将該电压接通后电容上的电压(圖 447)。

由于强制频率 f 比线路的自然频率 f_0 小很多倍, 那么可以認為 $f \approx 0$, 而(1170)式得到下列形式:

$$e_s = E_m (1 - \cos \omega_0 t \cdot e^{-\frac{Rt}{2L}}). \quad (1171)$$

如果略去电路的衰減, 令 $R = 0$, 則

$$e_s = E_m (1 - \cos \omega_0 t). \quad (1172)$$

在繞組中产生高頻振蕩的另一原因是受行波的作用。

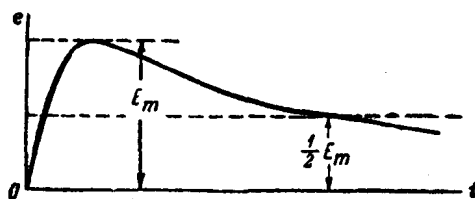


圖 448. 具有短时的非周期性的雷电放电特征的曲线。

雷电的放电通常产生短时的非周期性的具有很大振幅的脉冲, 其特性曲线表示在圖 448 中。由于大气原因而产生的行波, 它的特性是用系統上被作用的一点的电压由零上升到 E_{max} 及由 E_{max} 下降到 $\frac{1}{2} E_{max}$ 的时间来表示。通常电压用千伏、时间用微秒为單位。电压从 0 增長到 E_{max} 的时间表示出波前的陡度。用数学

表示行波袭击到系統某一点上的过程时, 波可以用下列形式的时间函数表示:

$$e = -E_{max} e^{-\alpha t} + E_{max} e^{-\beta t} = E_{max} (-e^{-\alpha t} + e^{-\beta t}). \quad (1173)$$

在 $\alpha = \infty$ 的情况下, 波具有矩形的波前, 于是

$$e = E_{max} e^{-\beta t}. \quad (1174)$$

对于矩形的不衰減的波, $\alpha = \infty$ 并 $\beta = 0$, 于是

$$e = E_{max}. \quad (1175)$$

在大气的和操作的过电压中, 可能在繞組对机壳絕緣或匝間絕緣中产生危险的过电压, 而当变压器和电机滿压接入时则电压波具有矩形的特征, 对于匝間絕緣产生最大的危险。

我們进而研究, 当有陡聳波前的行波加在变压器繞組上时所产生的振蕩的主要景象。

在正弦波中, 在波增加的开始一段上, 可以認為正弦值与用弧度表示的角度成正比。因此在这种正弦波的开始一段波前的陡度可由比值

$$\left[\frac{\omega E_m \sin \omega t}{\omega t} \right]_{t=0} = \omega E_m$$

决定, 亦即波前的陡度等于角频率乘以电压的振幅 E_m 。相反地如果已知波前的陡度为同样的最大电压 E_m 对时间 t 之比, 在这时间中电压按直线上升而达到 E_m , 那末对应的正弦振蕩的等效频率可从下式求得:

$$\omega E_m = \frac{E_m}{t},$$

从而

$$f = \frac{1}{2\pi t} = \frac{0.159}{t} = \frac{159 \times 10^3}{t_{\text{微秒}}}.$$

例如, 如果波前的長度已被决定, 在 1.5 微秒時間內电压升高到最大值, 則正弦振蕩的等效频率

等于

$$f = \frac{159 \times 10^8}{1.5} \approx 106000 \text{ 赫茲。}$$

假設有一矩形波前的波加在变压器的繞組上。在这一情况， $t=0$ 和 $f \approx \infty$ ，因此在开始的瞬间对于这种波來說，电感将成为无限大的电抗，变压器的等值电路变成一个串联和并联的电容系統（圖 449）。矩形波在極短促的瞬时中，总共只有九十分之一微秒，进行电容的充电，而由于匝間电容的存在、从电容鏈的始端到末端电压降的分布将不均匀。

覈察总共由四个环节組成的电容鏈（圖 450），并在 1、2、3、4 和 5 各点上加以对地的电压 u_1, u_2, u_3, u_4 和 u_5 ，上节所述情况可在这一特殊的情况下，其中 $C_1 = K_1 = C$ ，很明显地得到証明。此时为了肯定起見假設零点 X 是絕緣的，并假設組成电路的所有电容的电荷的瞬时值在圖 450 中用 $q = q_1, q_2, q_3, q_4, q', q''$ 和 q''' 表示。

利用了这些符号，根据众所周知的电荷、电容和电压間的关系，可得下列关系：

$$q_1 = q; \quad q_2 = 2q_1; \quad q' = q_2 + q_1 = 3q;$$

$$q_3 = q' + q_2 = 5q; \quad q'' = q_3 + q' = 8q;$$

$$q_4 = q'' + q_3 = 13q; \quad q''' = q_4 + q'' = 21q;$$

$$u_1 = \frac{q_1}{C} = \frac{q}{C}; \quad u_2 = \frac{q_2}{C} = 2 \frac{q}{C}; \quad u_3 = \frac{q_3}{C} = 5 \frac{q}{C};$$

$$u_4 = \frac{q_4}{C} = 13 \frac{q}{C}; \quad u_5 = \frac{q_4}{C} + \frac{q'''}{C} = (21 + 13) \frac{q}{C} = 34 \frac{q}{C}.$$

根据上述，电位 u_5 等于 E_m 。那么 1、2、3、4 和 5 各点对地的电位相互成 1:2:5:13:34 之比。画出（圖 450）这样的电压沿繞組的分布后，我們可以看出电压 E_m 的主要部分是在靠近起点 A 的环节上。

在稳定的状态下沿系统的电容鏈各环节的电位分布应当是均匀的，因为这种状态相当于通过直流电流的情况。当中点接地时电容鏈中每个环节上的电压降将等于 $\frac{E_m}{n}$ ，其中 n 为电容鏈的环节数，但当中点不接地时电容鏈的所有环节将得到同样的电位，等于电容鏈的进入环节上的电位 E_m 。

由于最終的电位分布并不与初始的分布相对应，于是从初始状态向最終状态的过渡将以向着最后分布的振蕩方式来完成，这振蕩具有类似于弦的振蕩駐波的形式。这时在絕緣的中点上

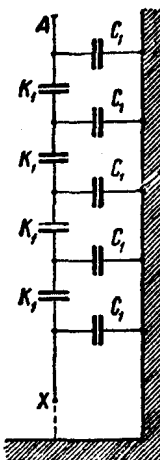


圖 449. 在很高頻率時表示變壓器等值電路的串聯和並聯電容的系統。

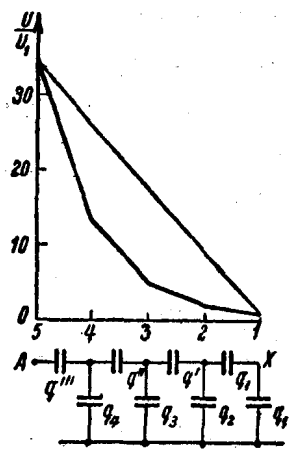


圖 450. 當過電壓的矩形波進入變壓器時，在其繞組環節上近似的電壓初始分布。

的對地電壓的數值可能為 $2E_m$, 而匝間電壓比穩定狀態時要大出很多。這些振蕩不論是在沿繞組的空間上的, 或在時間上的, 均可以分成基波和高次諧波的振蕩, 而且自由振蕩的頻率將等於

$$f_{0v} = \frac{1}{2\pi\sqrt{L_v C_v}}, \quad (1176)$$

其中 L_v 和 C_v 表示對於某一諧波的集中的等效自感和電容系數。當中點接地時振蕩的空間基波將以繞組的起點和端點為結點, 其半波長度將等於繞組的長度, 而當中點不接地時空間基波僅僅以起點為結點, 因此在繞組長度上僅分布著四分之一的波, 繞組末端的電位將升高到加在繞組上的波的二倍數值, 即為 $2E_m$ 。波沿繞組運動的條件速度可利用與具有分布參數的線路同樣的式子來決定。

$$v = \frac{1}{\sqrt{L_1 C_1}}. \quad (1177)$$

現在我們研究當有陡聳波前的波加在電機繞組上時產生振蕩的原理, 在這場合中匝間電容 K 比之接地電容 C 小去很多, 因此電機全部電路可比拟為一支有限長度而有分布參數 L 和 C 的線路。

當無限長的矩形波加在這種繞組上時, 它將沿着繞組移動, 從繞組的兩端反射回來, 這時振蕩的特性將和繞組端點接地的方法有關。在中點直接接地的場合中, 當每次波達到繞組末端時, 即產生從末端反射回來的波, 該波具有和入射波相反的符號而向繞組起端傳播, 然後這種過程將不斷地重複。在中點絕緣的場合中, 從末端反射回來的波將有和入射波相同的符號, 因此電壓被提高到 $2E_m$, 然後從起端產生波的反射, 電壓又重新降低為 E_m 。在從中點第二次反射之後電壓變成等於零, 而過程重新開始。

由於在具有分布參數的線路上的波的過程中, 儲藏在每一個單位長度的環節中的能量, 一半藏在磁場里 ($\frac{1}{2}LI^2$) 而另一半藏在電場里 ($\frac{1}{2}CE^2$), 於是

$$\frac{P}{2} = \frac{1}{2}LI^2 = \frac{1}{2}CE^2,$$

$$\frac{E}{I} = \sqrt{\frac{L}{C}} = z_w, \quad (1178)$$

其中 z_w 為線路的波阻抗, 具有通常電阻的因次。

如果用示波器攝取繞組上點與地之間的電位差, 這些點離開繞組起端的距離等於 $x=0, x=0.25, x=0.50$ 及 $x=0.75$, 則當中點接地時示波圖有如圖 451 所示的形狀, 而對於絕緣的中點則有如圖 452 所示的形狀。很明顯的由這些示波圖可以看出波的進行的特性有高頻脈振的形式。

如用 l 表示繞組長度, 則當中點接地時振蕩的整個周期由下式決定

$$T_0 = \frac{2l}{v} = 2l\sqrt{LC}, \quad (1179)$$

從而自然振蕩的頻率等於

$$f_0 = \frac{1}{T_0} = \frac{1}{2l\sqrt{LC}} = \frac{1}{2\pi\sqrt{LC}},$$

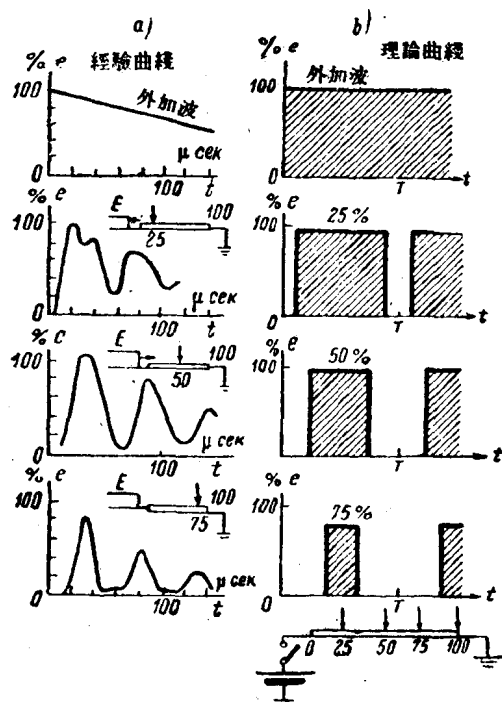


圖 451. 中点接地时同步电机繞組不同各点对地电位的示波圖及理論曲綫。

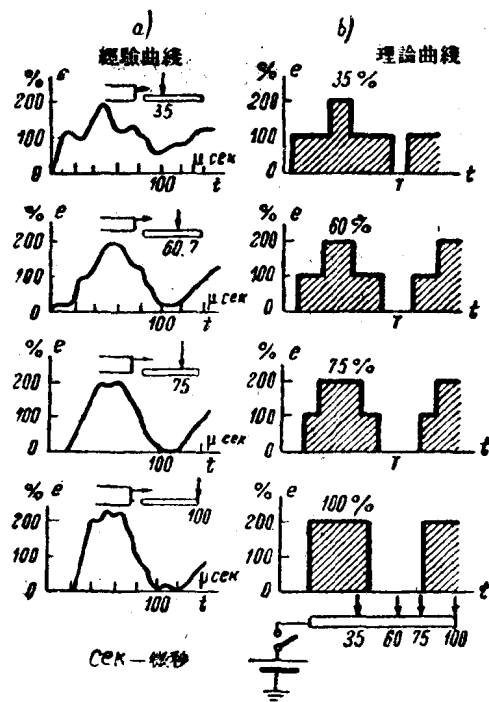


圖 452. 中点絕緣时同步电机繞組不同各点对地电位的示波圖及理論曲綫。

其中

$$L' = \frac{Ll}{\pi}$$

又

$$C' = \frac{Cl}{\pi}.$$

如果繞組末端經過一电阻接地,这电阻等于波阻抗

$$R_z = z_w = \sqrt{\frac{L}{C}},$$

則在这場合中当波达到繞組末端后它将向电阻 R_z 傳送功率

$$I^2 R_z = I^2 \sqrt{\frac{L}{C}} = I^2 \frac{E}{I} = IE = P.$$

由于所有傳送到繞組末端的功率 P 将完全消耗在接地电阻中, 于是从繞組的末端将不产生任何波的反射, 因而, 波沿繞組的进行将不带来任何振蕩。

第三十五章 变压器及电机中的过电压

§ 153. 变压器中的过电压

[参考文献 16, 19, 26, 749, 752, 758, 759, 776, 796]

a) 变压器中波的过程的一般特征 下面将考虑变压器中过电压分析的最簡單情况, 其中变压器只有一个高压繞組, 过电压的波加在線端 A(圖 453)上, 而另一端点 X(中点)可以是絕緣的或是接地的。

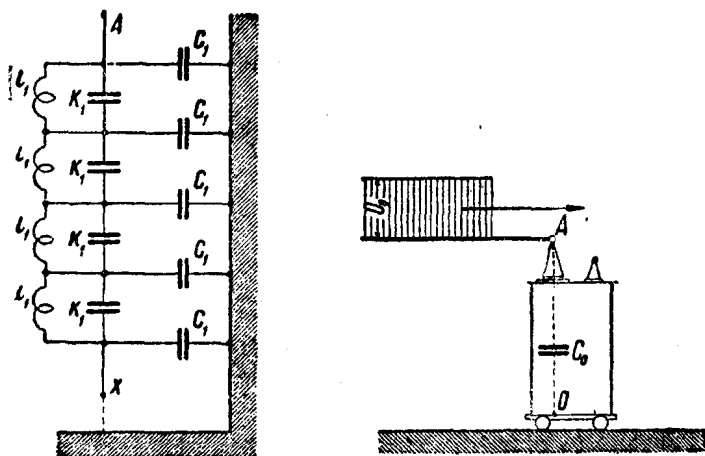


圖 453. 对于波的过程的變压器高压繞組的等值电路。

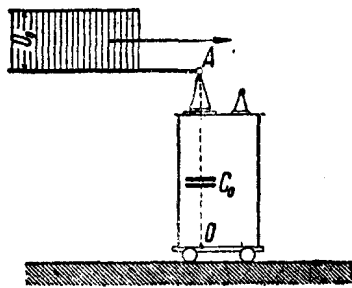


圖 454. 有陡壁波前的過電壓波进入具有等值电容 C_0 的變压器繞組的近似綫路。

在很高的頻率和短时的脉冲中, 圖 453 的电路可代替圖 449 的电路来进行对于波通过的初始瞬間的分析; 繞組宛如被分割为它的組成部分, 在此場合中仅分为电容 K_1 和 C_1 。对于高頻振蕩或脉冲的變压器繞組“等值电路”內所有这些电容的組合, 可以用某一等值电容 C_0 代替, 这电容称为變压器的入口电容 (圖 454)。可以証明, $C_0 = \sqrt{CK}$, 其中 $C = nC_1$, 而 $K = \frac{1}{n}K_1$, n 为在研究過電壓現象时繞組所分成的部分(元件)的数目, 这样 C_0 即为整个繞組对地的电容, 而 K 为联在线端 A 的第一个元件和最末一个元件間的电容。

从過電壓波进入时开始在變压器中进行的極短时的过程, 将不但和變压器的参数有关, 也和波的参数有关。在分析中最簡單的情况是具有矩形波前的无限長的波 U_0 。具有別种形式的脉冲現象的分析可以化成这一基本情况, 这将在下面述及。可以証明, 所产生的現象可以看作为三个过程的合成, 其中两个直接地相互重合, 而第三个是它們的結果。这些过程是: 1) 在變压器进入端的电位逐渐从零升高到約为 U_0 的二倍数值, 2) 这一上升的电位沿變压器繞組分布, 由于这分布的結果, 繞組每一部分获得对地以及对繞組相邻部分的一定的电位, 3) 这样, 繞組失去它的电平衡状态, 并成为复杂的空間的电容組合(在 1)和 2)項以后的較長的过程中也是电感的組

为了以后分析簡化起見, 假設: 1)單相變压器的整个繞組 A—X 布置在一个鐵心柱上, 或者它表示三相變压器的一相; 2)繞組的电阻和絕緣的电导等于零。由于这些簡化的結果繞組分为單独的部分(綫匝, 線圈等等); 每一部分有电感 L_1 (并考慮到这一部分与其余部分的互感), 这一部分对于相邻部分的电容 K_1 以及对地的电容 C_1 。

合), 它仅能经过振荡的过程再回复到平衡的状态。由于绕组的电阻及绝缘电导的作用振荡逐渐衰减。我们简短地研究上述三种过程。

6) 在变压器进入端的电位的增加 过电压波经过具有波阻抗 $z = \sqrt{\frac{L}{C}}$ 的线路进入到变压器上(图454), $z = \sqrt{\frac{L}{C}}$ 中的 L 和 C 为线路单位长度的自感和电容。令进入波的电压等于 U_0 , 而反射波的电压为 U'_0 。根据反射定律在电容 C_0 上的电压的瞬时值为 $u_c = U_0 + U'_0$, 而通过 C_0 的电流根据同样的定律为 $i_c = i_0 - i'_0$, 其中 i_0 为进入波的电流, 而 i'_0 为反射波的电流。将后一等式乘以 z , 得:

$$i_c z = i_0 z - i'_0 z = U_0 - U'_0.$$

从而

$$U'_0 = U_0 - i_c z,$$

因此

$$u_c = U_0 + U'_0 - i_c z = 2U_0 - i_c z. \quad (1180)$$

另一方面, 电压 u_c 可以用电容 C_0 的电荷 q_c 对该电容之比表示, 得:

$$u_c = \frac{q_c}{C_0} = \frac{1}{C_0} \int i_c dt. \quad (1181)$$

使(1180)和(1181)式相等, 可得:

$$2U_0 - i_c z = \frac{1}{C_0} \int i_c dt, \quad (1182)$$

上式经微分后可得微分方程式

$$-z \frac{di_c}{dt} = \frac{i_c}{C_0}.$$

将上式微分得

$$i_c = \text{const.} \cdot e^{-\frac{t}{zC_0}}. \quad (1183)$$

当 $t=0$ 时从(1182)和(1183)式可得

$$\text{const.} = \frac{2U_0}{z}.$$

最后

$$i_c = \frac{2U_0}{z} \cdot e^{-\frac{t}{zC_0}}, \quad (1184)$$

而

$$u_c = 2U_0 \left(1 - e^{-\frac{t}{zC_0}}\right). \quad (1185)$$

在进入端 A 上电压依照指数函数增加(图455)。当时间经过 $t = 3zC_0$ 秒后, $u_c = 1.95U_0$, 即电压几乎达到最终(二倍的)数值。作为一个例子, 如取 $z = 500\Omega$ 及 $C_0 = 5 \times 10^{-10}$ 法, 则 $t = 3zC_0 = 3 \times 500 \times 5 \times 10^{-10} = 0.75 \times 10^{-6}$ 秒。这样, 从波进入时到变压器入口端的电压成为二倍值时止, 其中时间约经过一个微秒。

b) 沿变压器绕组电压初始分布的概念 我们重新注意初始电容链(图449)的入口电容 C_0 。加在这种电容链上的线端 A 和 X 之间的电压 U_0 将不能沿着其长度作均匀的分布, 因为由于电容 C_1 的存在破坏了匀称性。详细的分析指出, 沿着替代绕组的电容链上的电压是按照双曲线函数分布的, 而在绕组任何一点 x , 对地的电压 u_x 在中点接地的情况下表示为

$$u_x = \frac{U_0 \operatorname{sh} \frac{\alpha x}{l_1}}{\operatorname{sh} \alpha}, \quad (1186)$$

$$u_x = \frac{U_0 \operatorname{ch} \frac{\alpha x}{l_1}}{\operatorname{ch} \alpha}. \quad (1187)$$

在中点絕緣的情況表示為

在這裡 $\alpha = l_1 \sqrt{\frac{C_1}{K_1}}$, 距離 x 系從繞組的末端向它的起始端計算, 而 l_1 表示變壓器繞組的全長。(1186)和(1187)式給出電壓沿繞組的初始分布的規律。由於在近代的變壓器中 $\alpha = 5—15$, 對於所述的二種情況, 無論是中點接地的(圖 456, a)或中點絕緣的(圖 456, b), (1186)式和(1187)式均給出大致相同的電壓初始分布圖形。

應當考慮到, (1186)和(1187)式給出繞組任一點對地的電壓數值。但對於繞組的電氣強度的計算來說, 知道下列各項也是同樣重要的: 1) 知道怎樣的電壓將作用在繞組的兩相鄰部分(元件)之間或者作用在它的單位長度上, 亦即應當知道第一導數 $\frac{\partial u_x}{\partial x}$ 的數值, 2) 知道相應於這一導數為最大值的繞組上的一點。從圖 456, a 和 b 的形式明顯地可以知道, 這一最大值將發生在繞組的起始端, 即開始幾匝, 亦即當 $x = l_1$ 時。

從(1186)和(1187)式決定上述的導數值並考慮到在 $\alpha > 3$ 時, $\operatorname{eth} \alpha \approx \operatorname{th} \alpha \approx 1$, 則在兩種情況下我們得到

$$\left[\frac{\partial u_x}{\partial x} \right]_{x=l_1} = \frac{U_0}{l_1} \alpha. \quad (1188)$$

第一個乘數給出當電壓均勻分布時的電壓坡度值, 而第二個乘數表示與此均勻性相差的程度。考慮到上述的 α 值, 可以見到準確分析指出電壓沿變壓器繞組初始分布的很大不均勻性, 而且靠近起始點 A 的繞組元件顯然需要更強的絕緣。

① **關於變壓器繞組中電壓最終分布及振蕩的概念** 显然, 在無限長的波和中點接地的情況下, 經過足夠的時間後, 波沿着繞組作均勻分布。在圖 456, a 中波的最終分布用斜線 MN 表示。在同樣的波和當中點絕緣的情況下, 經過足夠的時間後所有繞組將獲得同樣的電位 $2U_0$, 而電壓

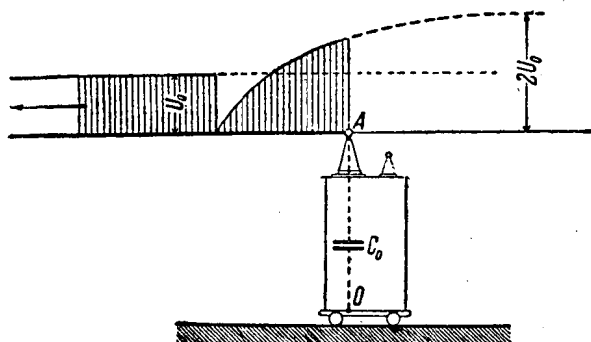


圖 455. 當有陡昇波前的波加到變壓器上時在其繞組端的電壓升高圖。

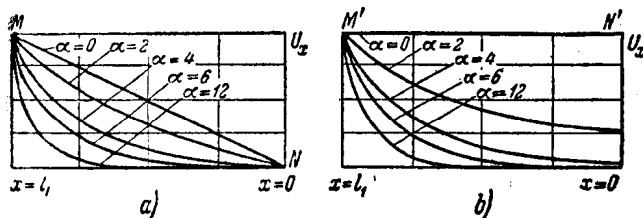


圖 456. 當過電壓波進入變壓器繞組時電壓沿繞組的初始分布曲綫: a) 中點接地和 b) 中點絕緣。

從(1186)和(1187)式決定上述的導數值並考慮到在 $\alpha > 3$ 時, $\operatorname{eth} \alpha \approx \operatorname{th} \alpha \approx 1$, 則在兩種情況下我們得到

的最終分布用圖 456, b 中的 $M'N'$ 線表示。正如上述，从电压的初始分布到最終分布的过渡是由按時間和空間而进行的振蕩来完成的。在这一阶段的現象的分析是相当复杂的，因为必須考慮繞組各部分間的电磁关系的影响，这样的关系是不能用任何簡單的規則来表示的。

依照对于上述关系所作的种种簡化，得到在变压器繞組中电压振蕩进行規律的种种表示式。这些所得到的表示式皆为偏导数微分方程的解(在最簡單的假定中亦不低于四級)；比較准确的分析将导致积分——微分方程。这些方程式的解答，給出下列結果：a)在繞組中进行的过程是周期性的并按指数規律衰減；电压在空間依 x 坐标即繞組長度而改变并在繞組的每一点上依时间而改变(由于过程是周期性的，于是通常可把它表示为諧波之和，以便于分析)；b)电压的最終分布曲綫圖 456, a 中的 MN 線及圖 456, b 中的 $M'N'$ 線可以看做一根軸，繞組各点的电压在这軸的上下振蕩着；可能的振蕩界限位于画有直線的区域中(圖 457, a 对应于中点接地，圖 457, b 对应于中点絕緣的)；b)应用諧波分析的方法，可以把最終及初始分布的差分解为正弦的(或，相应地，余弦的)級數，亦即基波和高次諧波的綜合(圖 457, a 和 457, b)而且对于每一諧波所有参数均可以决定。然后考察每一諧波对時間的上述变化并将結果加起来，我們即可以研究繞組任何部分过电压随时间变化的所有过程。

現象是有这样的特征，即不同級數的电压諧波以不同速率沿繞組傳播，因此进入繞組的波不断地改变形状。对于中点接地的圖 458, a 以及对于中点絕緣的圖 458, b 为有关过程随时间进行的一些表达，其中在曲綫上的数字为从建立电压初始分布的瞬间算起的、以振蕩周期的分数表示的时间。詳細分析的另一个有趣的結果指出，变压器繞組的波阻抗不是常数而是諧波級數的函数。在最后两方面，变压器和輸电綫有很大的区别，在輸电綫中波的傳播几乎是不变形的，而且輸电綫对于所有的波或脉冲有不变的波阻抗。

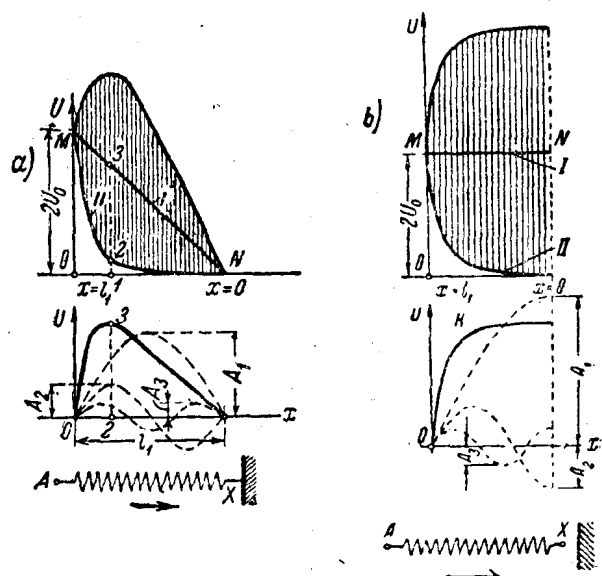


圖 457. 当过电压波进入变压器时，分解最終和初始分布間的电压差为諧波的状态：a)当中点接地时和b)当中点絕緣时。

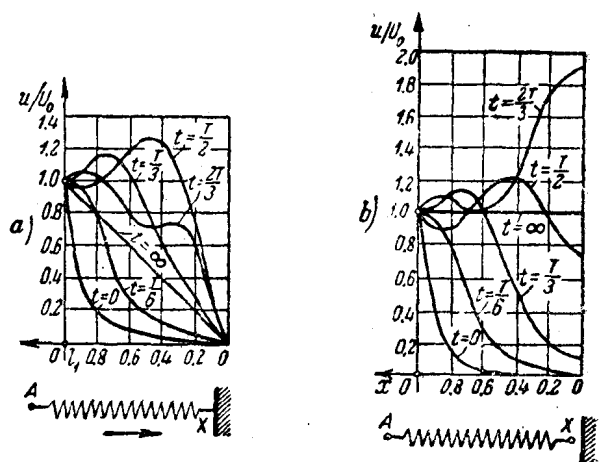


圖 458. 过电压波进入变压器时，在不同瞬間的最終分布和初始分布間电压差的曲綫：a)当中点接地时和b)当中点絕緣时。

用同样的方法可进行考虑当任何形式的非周期性脉冲加在变压器上时的更复杂的現象。如果脉冲有高頻振蕩的特征,对脉冲的某一級諧波的頻率則有产生諧振的危險,在繞組的任一部分中电压可能和这些諧波振蕩(圖 459, a 为对应于中点接地的,圖 459, b 对应于中点絕緣的)。

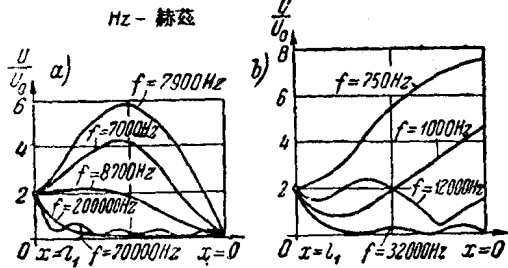


圖 459. 当不同的脉冲频率时沿变压器繞組电压差的振蕩: a) 接地的和 b) 中点絕緣的。

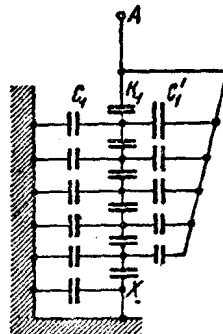


圖 460. 当过电压波进入变压器时利用附加电容使电压沿繞組的起始分布变成均匀的变压器等值电路。

这样,可以認為,过电压作用在变压器繞組上的結果可能在变压器各部分产生繞組对地或者繞組間相鄰部分(匝, 線圈, 等等)的很大的电压。在第一种場合中可能损坏繞組对地的絕緣,而在第二种場合中可能损坏繞組相鄰部分間的絕緣,以致对于在工作电压下的繞組,由于繞組邻近部分短路的結果,往往带来副現象,如这些部分的熔断甚至燃燒,繞組的机械变形等等。

§ 154. 变压器的过电压保护

[参考文献 744, 751, 754, 755, 756, 761, 767, 786, 799, 800, 803, 810]

在电力系統中的变压器具有保护整个系統裝置形式的过电压保护,如接地电纜,直接接地的中点,各种放电器,以及整个系統的絕緣配合,使得变压器繞組的絕緣在整个系統中是最強的。

为了过电压保护,在变压器本身从结构方面采取措施,應該注意到: 1) 在所有可能出現危險的电压梯度的地方,即在起始的也有时在末端的各匝和綫圈,在繞組的出綫处等等的地点,絕緣須必要的和足够的加强; 2) 采用电容的保护。后者的最簡單形式是所謂屏蔽环。这是带有切縫的实心的青銅或黃銅环,可靠地加以絕緣,装在起始的,也有时在末端的几个綫圈上,同时相应地和繞組的起始端,或末端相联。这些环的主要作用在于使靠近环的几个綫圈沿匝間的过电压分布得以均匀,因而匝間将不可能形成大的电位差。

采用比較复杂形式的电容保护可以得到过电压的脉冲实际上立刻按照最終分布的規律,即均匀地沿整个繞組分布。因此,在这种繞組中不可能产生强烈的振蕩过程,亦不可能在絕緣中产生特別大的和危險的电压梯度。具有此种繞組的变压器称为不諧振的。其中电容的保护是以两个原理中之一为依据而完成的,这两个原理可从簡化綫路的特性中直接得出(圖 449)。

事实上,如果給予电容 C_1 的充电电流以另一条繞过电容 K_1 的支路,則在 K_1 上将沒有如圖 456, a 和 b 所示的向繞組起始端急剧增加的电压。电容的充电电流将被导向通过附加电容 C_1 (圖 460),这些电容根据特殊的計算来選擇。圖 461 为柏魯也夫所創議的这种保护的結構布置。